

文章编号: 1000-324X(2015)01-0017-06

DOI: 10.15541/jim20140251

碱炭比及活化温度对稻壳活性炭极微孔的影响

李大伟^{1,2}, 马腾飞^{1,3}, 田原宇^{1,2}, 朱锡锋⁴, 乔英云²

(1. 中国石油大学(华东) 化工学院, 青岛 266580; 2. 山东科技大学 低碳能源化工重点实验室, 青岛 266590; 3. 中国石油天然气股份有限公司 辽阳石化分公司, 辽阳 111003; 4. 中国科技大学 安徽省生物质洁净能源重点实验室, 合肥 230026)

摘要: 采用 N₂ 吸附、CO₂ 吸附和热重红外联用等技术手段, 考察了在 KOH 活化稻壳炭的过程中碱炭比和活化温度对活性炭极微孔的影响。结果表明: 在不同碱炭比(0.6 : 1~3 : 1)和活化温度(640~780℃)下制备的稻壳活性炭, 极微孔主要分布在 0.42~0.70 nm。当碱炭比增加时, 极微孔孔容先增大后减小; 而当活化温度升高时, 极微孔孔容呈降低趋势。极微孔率随碱炭比或活化温度的升高而单调递减。在活化温度为 640℃、碱炭比为 1:1 时, 可得极微孔孔容为 0.149 mL/g、极微孔率达 36.3% 的微孔活性炭。活性炭的极微孔孔容与其在 10⁴ Pa 时的 CO₂ 吸附量高度线性相关。

关键词: 活性炭; 极微孔; KOH; 稻壳

中图分类号: TQ424 文献标识码: A

Effects of Alkali/Char Ratio and Activation Temperature on Ultramicropores of Rice Husk Active Carbon

LI Da-Wei^{1,2}, MA Teng-Fei^{1,3}, TIAN Yuan-Yu^{1,2}, ZHU Xi-Feng⁴, QIAO Ying-Yun²

(1. College of Chemical Engineering, China University of Petroleum (East China), Qingdao 266580, China; 2. Research Centre for Low-carbon Energy Sources, Shandong University of Science and Technology, Qingdao 266590, China; 3. PetroChina Liaoyang Petrochemical Company, Liaoyang 111003, China; 4. Key Laboratory for Biomass Clean Energy of Anhui Province, University of Science and Technology of China, Hefei 230026, China)

Abstract: Porous carbons were prepared by KOH activation of rice husk char at alkali/char ratios of 0.6 : 1 to 3 : 1 and activation temperatures from 640℃ to 780℃. The obtained porous carbons were characterized using N₂ adsorption and desorption technique, CO₂ adsorption, TG-FTIR analyses. The results indicate that the ultramicropore size of the prepared porous carbons is mostly in the range of 0.42–0.70 nm. As the alkali/char ratio increases, the volume of ultramicropores first rises and then diminishes, whereas the volume of ultramicropores tends to decrease monotonously with the increase of activation temperature. A microporous carbon with ultramicropore volume of 0.149 mL/g, ultramicropore fraction of 36.3%, pore volume of 0.411 mL/g, and specific surface area of 774 m²/g, can be produced by activation at 640℃ at the alkali/char ratio of 1 : 1. The ultramicropore volume of the porous carbons and their CO₂ uptake at 10⁴ Pa display a strong linear relationship.

Key words: active carbon; ultramicropore; KOH; rice husk

收稿日期: 2014-05-13; 收到修改稿日期: 2014-07-13

基金项目: 国家自然科学基金(51206099); 中国科学院重点部署项目(KGZD-EW-304-3); 教育部新世纪优秀人才支持计划(NCET-11-1031)

National Natural Science Foundation of China (51206099); Key Research Program of the Chinese Academy of Sciences (KGZD-EW-304-3); Program for New Century Excellent Talent in University of the Ministry of Education of China (NCET-11-1031)

作者简介: 李大伟(1982-), 男, 讲师, 博士后. E-mail: lidaweicumt@126.com

通讯作者: 田原宇, 教授. E-mail: tiany1008@126.com

活性炭具有比表面积高、孔结构发达、化学性质稳定等优点，已广泛应用于吸附、分离、催化等领域^[1-2]。活性炭的制备方法主要有物理活化法和化学活化法。采用基于 KOH 的化学活化法，尤其有利于制备高比表面积的活性炭。迄今，以 KOH 活化法制备活性炭，已有诸多研究^[3-6]。这些研究考察了制备条件对比表面积、总孔容、微孔容积等孔结构参数的影响，但制备条件对极微孔影响的系统研究却鲜见报道。

根据国际纯粹与应用化学会(IUPAC)对孔的分类标准，极微孔是指孔径小于 0.7 nm 的孔道。研究表明，极微孔在活性炭吸附某些气体分子的过程中发挥着重要作用。例如，De Souza 等^[7]发现，低压时活性炭的 CO₂ 吸附量与其极微孔孔容密切相关；Silvestre 等^[8]发现，极微孔可以显著提高活性炭对 H₂ 的吸附。可见，研究极微孔在活化过程中的演变规律，对特定气体吸附剂的制备具有积极作用。

本工作考察了在 KOH 活化稻壳炭的过程中，碱炭比和活化温度对活性炭极微孔的影响，以期为特定气体吸附剂的研制提供科学依据。

1 实验方法

1.1 原料

将稻壳水洗、干燥后储存备用，其干基工业组成为：固定炭 18.6wt%，挥发分 70.4wt%，灰分 11.0wt%。KOH(AR)由国药集团化学试剂有限公司提供。实验用水为自制去离子水。

1.2 活性炭的制备

将 15 g 稻壳在 400 mL/min 的 N₂ 下于 520 °C 炭化 20 min，所得稻壳炭记为 RHC。取粒径为 0.15~0.90 mm 的 RHC 4.0 g，与溶于 16 mL 水的 KOH 按 0.6: 1~3: 1 的碱炭比(KOH/RHC，按纯 KOH 计)混合，密闭后静置 5 h 以上。之后，将样品在 N₂(250 mL/min)保护下在 140°C 干燥至恒重。所得样品置于镍舟，再移入管式炉，通入 400 mL/min 的 N₂。接着，管式炉以 8°C/min 的升温速率由室温升至 400°C 并保温 30 min，再以 10°C/min 升至 640~780°C，保温 60 min。最后，将样品冷却至室温，洗涤至中性，并在 110°C 干燥 10 h。

所得多孔炭记为 Kn-m，其中 K 为 KOH, n 为碱炭比, m 为活化温度。例如，K1-710 代表以 KOH 为活化剂，采用 1: 1 的碱炭比，在 710°C 活化制得的活性炭。K1-0 为采用 1: 1 的碱炭比，在 140°C 干燥至恒重，但不经后续加热而得到的含 KOH 稻壳炭。

1.3 表征

利用热重(Q500, TA Corp., USA)与红外(Nicolet 6700, ThermoScientific, USA)联用仪，在线分析 RHC 和 K1-0 的热解过程及其气体产物。样品用量约 10 mg，保护气(N₂)流量为 70 mL/min，升温速率为 10 °C/min，光谱范围为 4000~400 cm⁻¹，分辨率为 4 cm⁻¹。

利用比表面积及孔径分析仪(Tristar II 3020, 美国麦克)，测定样品在 77 K 的 N₂ 吸脱附等温线。之后，利用 BET 方程计算样品的比表面积(S_{BET})，利用 t-plot 法计算样品的微孔孔容(V_{micro})，利用 BJH 法确定中孔孔分布，利用相对压力为 0.95 时所吸附液氮体积计算总孔容(V_t)。中孔孔容(V_{meso})为 V_t 与 V_{micro} 的差值，微孔率(V_{micro}/V_t)为 V_{micro} 与 V_t 的比值。

利用比表面积及孔径分析仪(ASAP 2020, 美国麦克)，测定活性炭在 0°C 下的 CO₂ 吸附等温线。其后，利用 NLDFT 理论确定活性炭的极微孔孔容(V_{<0.7 nm})和极微孔孔分布。极微孔率(V_{<0.7 nm}/V_t)为 V_{<0.7 nm} 与 V_t 的比值。

利用扫描电镜(S-4800, 日本日立公司)观察样品的表面形貌。样品的干基灰分按国标 GB/T 12496.3-1999 进行测定。

2 结果与讨论

2.1 多孔炭的表征

图 1(a)为活性炭的 N₂ 吸脱附等温线。这些等温线在相对压力低于 0.1 时迅速上升，而后几乎呈水平线。由 IUPAC 的分类标准可知，这些等温线属于 I 型，说明样品的孔道以微孔为主。因此，它们的微孔率较高(>70%，表 1)，但孔径>2 nm 的孔分布曲线较低(图 1(b))。

由表 1 可知，活性炭的比表面积均大于 600 m²/g，远超过了 RHC(114 m²/g)，表明 KOH 对稻壳炭产生了显著的活化作用。此外，由表 1 可知，当碱炭比或活化温度升高时，微孔孔容显著增加，致使总孔容及比表面积显著增大，这说明碱活化条件对活性炭的孔结构产生了强烈影响。

由图 1(c)和(d)可知，稻壳炭表面孔道极少，而活性炭表面则呈现丰富的微米级(0.5~6 μm)管状大孔，在孔内壁上还显示出更小的孔道。可见，稻壳炭经活化之后，孔道数量大幅增加，这与活性炭的比表面积远大于稻壳炭相一致。

2.2 碱炭比对极微孔的影响

图 2 为不同碱炭比下所得活性炭的极微孔孔分

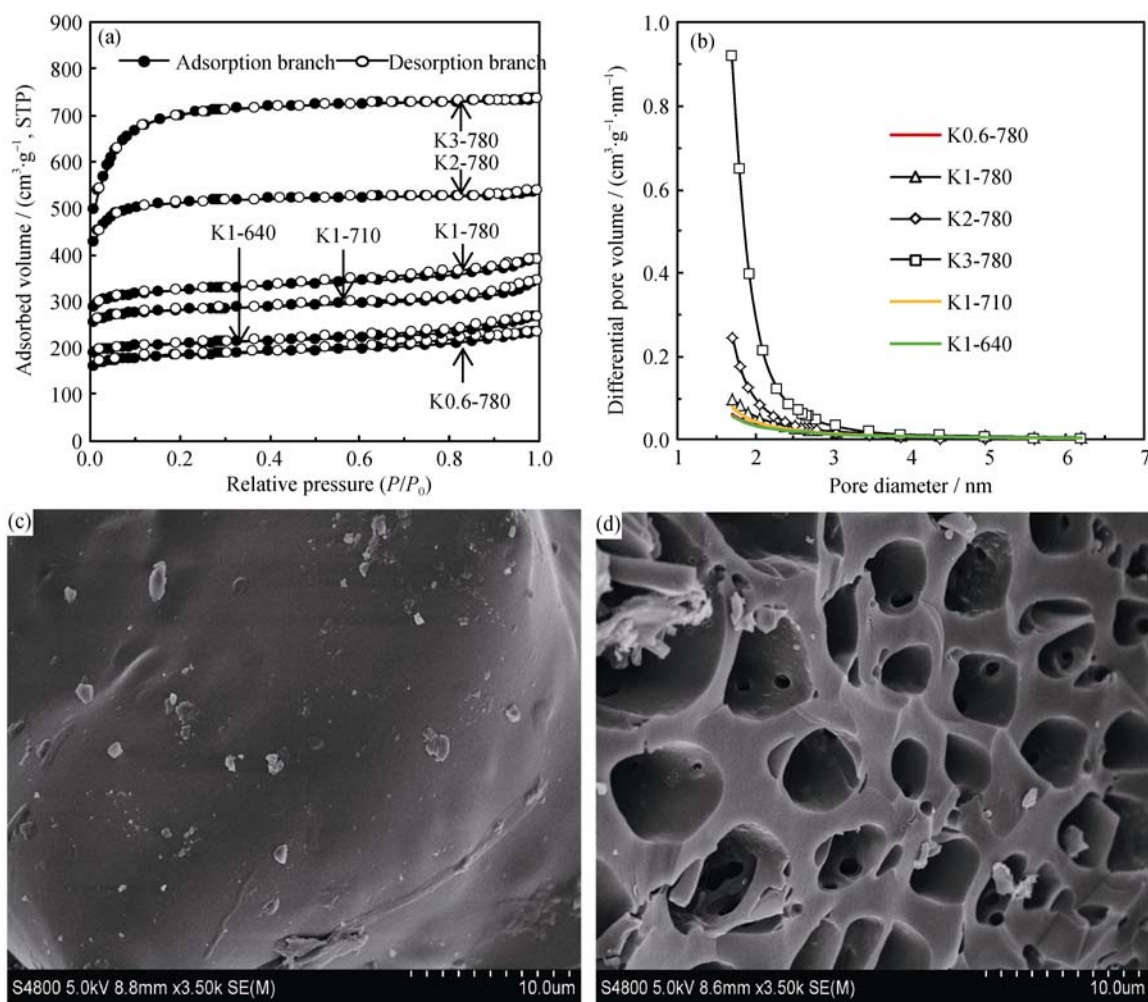


图 1 稻壳炭及活性炭的表征

Fig. 1 Characterizations for rice husk char and active carbons

(a) N_2 adsorption/desorption isotherms; (b) Mesopore size distribution; (c) SEM image of rice husk char; (d) SEM image of K3-780

表 1 稻壳炭及活性炭的孔结构

Table 1 Textural properties of rice husk char and active carbons

Sample	S_{BET} /(m ² ·g ⁻¹)	V_t (cm ³ ·g ⁻¹)	V_{micro} (cm ³ ·g ⁻¹)	V_{meso} (cm ³ ·g ⁻¹)	$V_{<0.7\text{ nm}}$ (cm ³ ·g ⁻¹)	$V_{<1\text{ nm}}$ (cm ³ ·g ⁻¹)	(V_{micro}/V_t) /%	$(V_{<0.7\text{ nm}}/V_t)$ /%
RHC	114	0.069	0.051	0.018	—	—	—	—
K0.6-780	678	0.359	0.262	0.097	0.120	0.156	73.0	33.4
K1-780	1199	0.600	0.479	0.121	0.139	0.196	79.8	23.1
K2-780	1842	0.828	0.802	0.026	0.088	0.126	96.9	10.6
K3-780	2695	1.137	1.106	0.031	0.078	0.117	97.3	6.9
K1-640	774	0.411	0.302	0.109	0.149	0.190	73.5	36.3
K1-710	1041	0.527	0.422	0.105	0.149	0.202	80.1	28.3
K1-780	1199	0.600	0.479	0.121	0.139	0.196	79.8	23.1

布曲线。这些炭样的极微孔径均集中在 0.42~0.70 nm。在 0.42~0.51 nm 段, K1-780 的孔分布曲线与 K0.6-780 较为接近, 说明二者在该范围的孔容相当; 而在 0.51~0.70 nm 段, K1-780 的孔分布曲线较高, 说明其在该范围的孔容较大。可见, 当碱炭比从 0.6 增大至 1 时, 0.51~0.70 nm 的孔得以发育, 而 0.42~

0.51 nm 的孔变化较小。当碱炭比继续增大时, 所得活性炭(K3-780)在 0.42~0.70 nm 的孔分布曲线均低于 K1-780, 表明该范围的孔容下降。这说明将碱炭比从 1 增加至 3, 不利于极微孔的发展。由图 3 还可看出, K0.6-780、K1-780、K3-780 的最可几极微孔孔径分别为 0.56、0.59、0.57 nm, 表明随着碱炭比

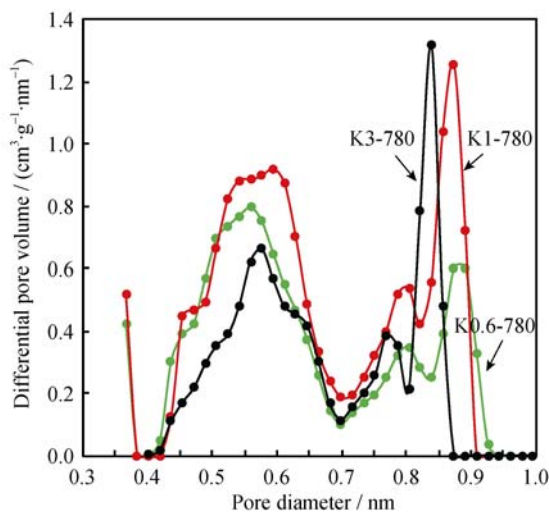


图 2 碱炭比对活性炭极微孔孔分布的影响

Fig. 2 Effects of alkali/char ratio on pore size distributions of ultramicropores of active carbons

的升高, 最可几极微孔孔径先增大后减小。这也反映出, 将碱炭比从 0.6 增至 1, 能促进极微孔的发育, 但继续提高碱炭比, 会减少极微孔。

表 1 列出了不同碱炭比下所得活性炭的极微孔孔容, 由表 1 可知, 当碱炭比为 1 时, 极微孔孔容达到最大值, 为 0.139 mL/g 。这是因为, 当碱炭比 ≤ 1 时, 增大碱炭比, 在高温下会有更多的活性物种与稻壳炭活性位反应^[9], 从而形成更多极微孔; 而当碱炭比较高时(>1), 增大碱炭比会使孔壁变薄或孔道连通^[9], 致使极微孔扩展为较大的微孔。因此, 活性炭 K3-780 的 V_{micro} 大于 K1-780, 但其 $V_{<0.7 \text{ nm}}$ 小于 K1-780(表 1)。

由表 1 还可知, 随着碱炭比的升高, 极微孔率单调递减。这是因为, 当碱炭比增加时, 产生了大量孔径较大的微孔($\geq 0.7 \text{ nm}$), 微孔孔容(V_{micro})急剧增加, 致使总孔容(V_t)的增幅显著超过了 $V_{<0.7 \text{ nm}}$ 的变化量。因此, $V_{<0.7 \text{ nm}}$ 在 V_t 中所占比例, 随着碱炭比的增加而持续降低。

2.3 活化温度对极微孔的影响

图 3 为不同活化温度下所得活性炭的极微孔孔分布曲线, 由图可知, 这些活性炭的极微孔均集中在 $0.42\sim0.70 \text{ nm}$ 。在 $0.42\sim0.57 \text{ nm}$ 段, K1-640 的孔分布曲线最高, 在该范围的极微孔孔容最大, 这说明低活化温度利于较小极微孔的发育; 而在 $0.57\sim0.70 \text{ nm}$ 段, K1-780 的孔分布曲线最高, 其极微孔孔容最大, 说明高活化温度可以促进较大极微孔的发育。这些结果还说明, 随着活化温度的升高, 极微孔孔径呈增大趋势。由图 3 还可得, K1-640、K1-710、K1-780 的最可几极微孔孔径分别为 0.54 、 0.55 、 0.59 nm , 说

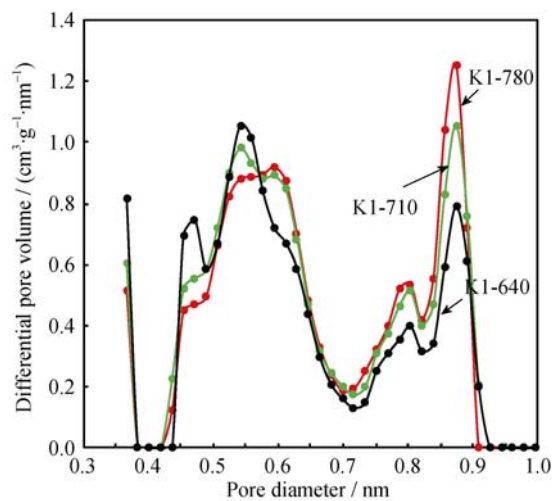


图 3 活化温度对活性炭极微孔孔分布的影响

Fig. 3 Effects of activation temperature on pore size distributions of ultramicropores of active carbons

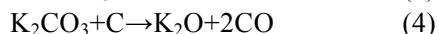
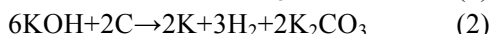
明随着活化温度升高时, 最可几极微孔孔径增大, 这也说明极微孔孔径呈增大趋势。

不同活化温度下所得活性炭的极微孔孔容列于表 1。由表可知, 极微孔孔容最大值达到 0.149 mL/g , 出现在活化温度较低时。随着活化温度的升高, 极微孔孔容呈降低趋势。这是因为活化温度较高时, 活化反应更为剧烈^[9], 致使极微孔孔壁变薄甚至被烧穿, 从而扩展为大微孔甚至中孔。表 1 表明, K1-780 的 V_{micro} 及 V_{meso} 均大于 K1-640, 说明活化温度较高时, 极微孔及中孔显著增多, 这与上述解释相吻合。

表 1 还表明, 活化温度升高时, 极微孔率单调递减, 这是因为随着活化温度的升高, $V_{<0.7 \text{ nm}}$ 因扩孔效应呈减小趋势, 而 V_t 则因孔隙发育持续增大(表 1)。可见, 采用高活化温度不利于制备富含极微孔的活性炭, 这与一些学者的研究结果相一致^[10]。

2.4 孔结构演化机理

稻壳炭的主要成分是 SiO_2 ($\sim 32.4 \text{ wt\%}$) 和 C (54.5 wt\%), 在与 KOH 接触并被加热的过程中, 可以发生如下反应^[11-13]:



反应(1)在室温下即可发生。测试表明, 稻壳活性炭的灰分(主要为 SiO_2)远低于稻壳炭($2.3\sim6.3 \text{ wt\%} < 32.4 \text{ wt\%}$), 说明发生了反应(1), 致使 SiO_2 转化为水溶性硅酸盐。

由图 4(b)可知, 在 640°C 时, K1-0 位于 2217~

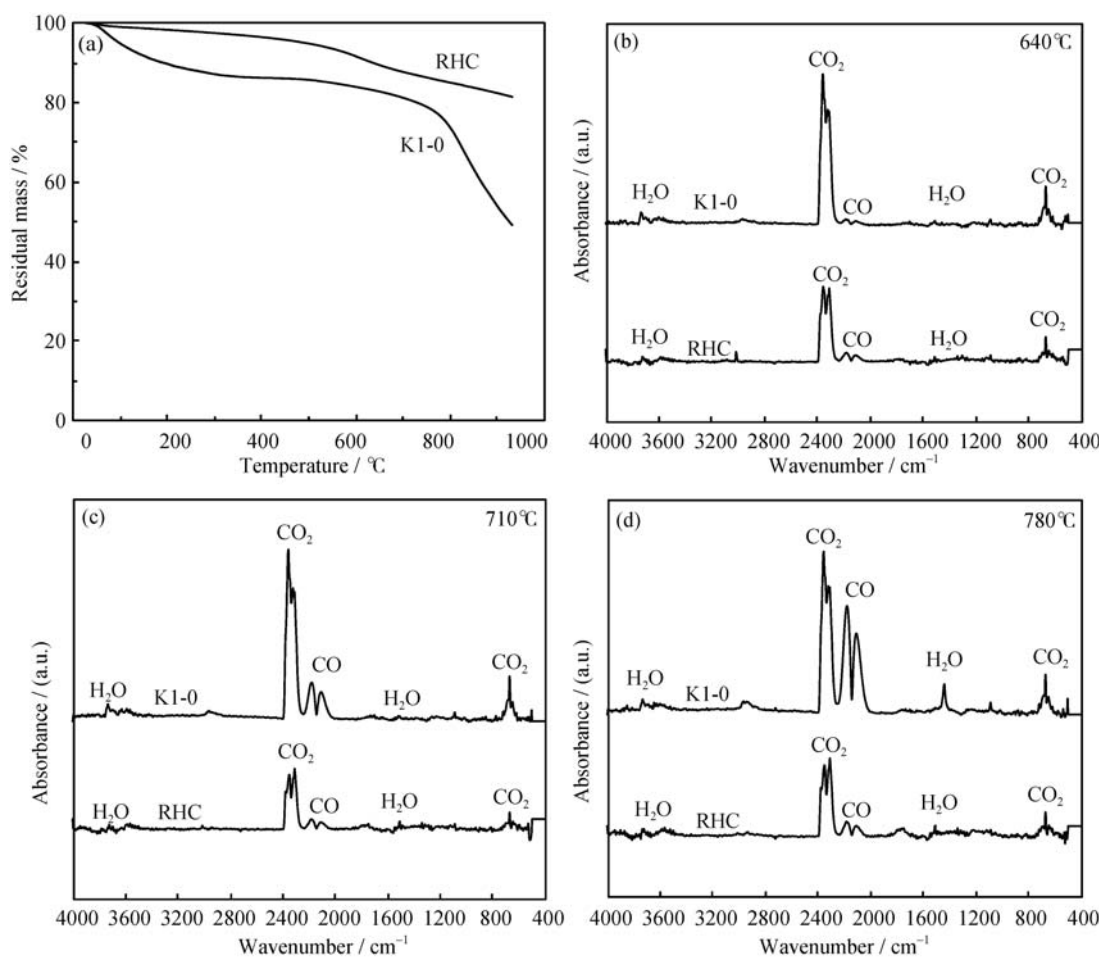


图 4 热解温度对稻壳炭(RHC)及含 KOH 稻壳炭(K1-0)重量及气体产物的影响

Fig. 4 Effects of heating temperature on mass and gaseous products of rice husk char (RHC) and KOH-containing char
 (a) Thermogravimetric curves; FTIR spectra of gaseous products released at heating temperatures of 640°C(b), 710°C(c) and 780°C(d)

2391 cm^{-1} 的 CO_2 特征峰^[14]高于稻壳炭, 说明在稻壳炭中加入 KOH, 会促进 CO_2 的生成。这是因为反应(2)约在 400°C 发生^[15], 生成的 K_2CO_3 在 477°C 即可与炭反应生成 CO_2 ^[15]。需要说明的是, K1-0 在 640°C 时释放的 CO_2 , 不应归因于反应(3), 因为反应(3)需要在 700°C 之上才能发生^[13]。另外, 由图 4(b)可知, 在 640°C 时, K1-0 热解气的 CO 的特征峰($2000\sim2250\text{ cm}^{-1}$)^[14]不明显, 说明在该温度下, 不能发生反应(4)~(6), 因此它们不是 K1-640 出现极微孔的原因。当温度从 640°C 升高至 780°C 时, K1-0 的 CO 特征峰增大(图 4(b)~(d)), 说明温度继续升高时($\geq 710^\circ\text{C}$), 反应(4)~(6)得以发生, 且呈加剧趋势, 使大量炭元素以 CO 形式脱离 K1-0, 并使 K1-0 的重量迅速降低(图 4(a))。

综上可知, 由于活化反应的发生, 会有 SiO_2 及炭元素脱离稻壳炭^[16], 这将导致极微孔等孔道的形成或扩展。此外, 当活化温度高于单质钾的沸点(762°C)时, 生成的钾单质为气态, 可穿行在稻壳炭的类石

墨微晶层片之间, 致使类石墨微晶层片被撑开或扭曲, 这对活性炭的孔结构可以产生较大影响^[9, 15]。

2.5 极微孔对低压 CO_2 吸附量的影响

图 5 为活性炭的极微孔孔容对其低压 CO_2 吸附量(10^4 Pa)的影响。由图可知, 极微孔孔容越大, 低

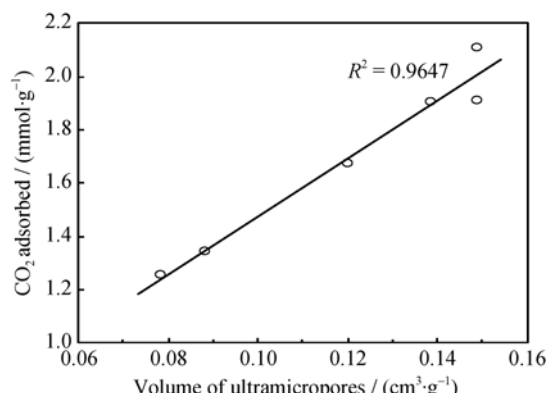
图 5 极微孔孔容与 10^4 Pa 下 CO_2 吸附量的关系

Fig. 5 Relation between ultramicropore volume and CO_2 uptake at 10^4 Pa

压 CO_2 吸附量越大, 二者具有较强的相关性, 这与 Hao 等^[17]的报道相一致。拟合结果表明, 极微孔孔容与低压 CO_2 吸附量的线性相关系数高达 0.9647, 这再次表明二者密切相关。可见, 研究活化条件对极微孔的影响, 对制备特定气体吸附用活性炭具有积极意义。

3 结论

采用不同碱炭比(0.6:1~3:1)和活化温度(640~780 °C)制备的稻壳活性炭, 其极微孔主要分布在0.42~0.70 nm, 最可几极微孔孔径为0.54~0.59 nm。当碱炭比增加时, 极微孔孔容先增大后减小; 而当活化温度升高时, 极微孔孔容呈降低趋势。极微孔率随碱炭比或活化温度的升高单调递减。在活化温度为640 °C、碱炭比为1:1时, 可得极微孔孔容为0.149 mL/g、极微孔率为36.3%、比表面积达774 m²/g的微孔活性炭。多孔炭的极微孔孔容与其低压 CO_2 吸附量具有较高的线性相关性。

参考文献:

- [1] XIE QIAN, ZHANG XIANG-LAN, LI LAN-TING, et al. Porosity adjustment of activated carbon: theory, approaches and practice. *New Carbon Materials*, 2005, **20**(2): 183–190.
- [2] TAN SAN-XIANG, TANG SHAO-ZAO, LIU YING-LIANG, et al. Preparation and antibacterial property of copper-loaded activated carbon microspheres. *Journal of Inorganic Materials*, 2010, **25**(3): 299–306.
- [3] PARASKEVA P, KALDERIS D, DIAMADOPoulos E. Production of activated carbon from agricultural by-products. *J. Chem. Technol. Biotechnol.*, 2008, **83**: 581–592.
- [4] DIAS J M, ALVIM-FERRAZ M C M, ALMEIDA M F, et al. Waste materials for activated carbon preparation and its use in aqueous-phase treatment: a review. *J. Environ. Manage.*, 2007, **85**(4): 833–846.
- [5] KE YI-HU, YANG ER-TAO, LIU XIN, et al. Preparation of porous carbons from non-metallic fractions of waste printed circuit boards by chemical and physical activation. *New Carbon Materials*, 2013, **28**(2): 108–115.
- [6] LABUS K, GRYGLEWICZ S, MACHNIKOWSKI J. Granular KOH-activated carbons from coal-based cokes and their CO_2 adsorption capacity. *Fuel*, 2014, **118**: 9–15.
- [7] DE SOUZA L K C, WICKRAMARATNE N P, ELLO A S, et al. Enhancement of CO_2 adsorption on phenolic resin-based mesoporous carbons by KOH activation. *Carbon*, 2013, **65**: 334–340.
- [8] SILVESTRE-ALBERO A M, WAHBY A, SILVESTRE-ALBERO J, et al. Carbon molecular sieves prepared from polymeric precursors: porous structure and hydrogen adsorption properties. *Ind. Eng. Chem. Res.*, 2009, **48**(15): 7125–7131.
- [9] WANG XIU-FANG, TIAN YONG, ZHANG HUI-PING. Preparation and activation mechanism of high specific surface area coal-based activated carbon. *CIESC Journal*, 2009, **60**(3): 734–737.
- [10] YANG R, LIU G Q, LI M, et al. Preparation and N_2 , CO_2 and H_2 adsorption of super activated carbon derived from biomass source hemp (*Cannabis sativa* L.) stem. *Microporous Mesoporous Mater.*, 2012, **158**: 108–116.
- [11] JIMENEZ V, RAMIREZ-LUCAS A, DIAZ J A, et al. CO_2 capture in different carbon materials. *Environmental Science & Technology*, 2012, **46**(13): 7407–7414.
- [12] GUO YU-PENG, YANG SHAO-FENG. Preparation of active carbon with high specific surface area from rice husks. *Chemical Journal of Chinese Universities*, 2000, **21**(3): 335–338.
- [13] WANG J C, HEERWIG A, LOHE M R, et al. Fungi-based porous carbons for CO_2 adsorption and separation. *J. Mater. Chem.*, 2012, **22**(28): 13911–13913.
- [14] YANG JING-BIAO, CAI NING-SHENG. A TG-FTIR study on catalytic pyrolysis of coal. *Journal of Fuel Chemistry and Technology*, 2006, **34**(6): 650–654.
- [15] LI DONG-YAN, ZHOU HUA-LEI, TIAN YA-JUN, et al. High-specific-surface-area activated carbon from anthracite. *Rare Metal Materials and Engineering*, 2007, **36**(1): 583–586.
- [16] LI DA-WEI, ZHU XI-FENG. Rice husk-based activated carbons with high mesoporosity prepared by a combination of CO_2 activation and boiling in an alkaline solution. *New Carbon Materials*, 2013, **28**(5): 363–368.
- [17] HAO W, BJORKMAN E, LILLIESTRALE M, et al. Activated carbons prepared from hydrothermally carbonized waste biomass used as adsorbents for CO_2 . *Appl. Energy*, 2013, **112**: 526–532.